



بیست و پنجمین کنفرانس اپتیک و
فوتونیک ایران و یازدهمین کنفرانس
مهندسی و فناوری فوتونیک ایران،
دانشگاه شیراز،
شیراز، ایران.
۹-۱۱ بهمن ۱۳۹۷



مطالعه دقت اندازه‌گیری و تعیین مشخصات زبری سطح با استفاده از روش‌های فوریه و جابجایی فازی

یزدان رشیدی، محمد حسین مهدیه، محمدرضا جعفر فرد،

دانشکده فیزیک، دانشگاه علم و صنعت ایران، نارمک، تهران، ایران

در این مقاله با استفاده از روش‌های جابجایی فازی و تبدیل فوریه، مشخصات سطوح با ناهمواری‌های مشخص تعیین شده است و خطای اندازه‌گیری هر یک از روش‌ها تعیین و مقایسه شده است. نتایج این مطالعه نشان می‌دهند که برای سطوح با تغییرات ناهمواری کند، روش تبدیل فوریه و برای سطوح با تغییرات ناهمواری سریع، روش جابجایی فازی (الگوریتم هاریهاران) مناسب‌ترین روش است.

کلیدواژه-ناهمواری سطح، تداخل سنجی، تبدیل فوریه، جابه‌جایی فاز

Investigation of accuracy in characterization of rough surfaces by Fourier and Phase shifting techniques

Yazdan Rashidi, Mohammad Hossein Mahdieh and Mohammad Reza Jafarfard

Department of Physics, Iran University of Science and Technology, Narmak, Tehran, Iran

Abstract- In this paper, the measurement error of the Phase-shifting and Fast Fourier Transform (FFT) methods are obtained for different surface samples. According to the results, for surfaces in which the roughness changes are slow, FFT method is more accurate and for other roughness surfaces Phase-shifting technique is more appropriate.

Keywords: surface roughness, interferometry, Phase-shifting, Fast Fourier Transform

مقدمه

اندازه‌گیری ناهمواری و داشتن اطلاعاتی از صافی سطح، همواره یکی از موارد مهم در بخشی از فعالیت‌های صنعتی است. مطالعات گسترده‌ای در این زمینه صورت گرفته است و روش‌های مختلفی برای اندازه‌گیری ناهمواری سطح ابداع شده، که در دو بخش روش‌های غیرتماسی (اپتیکی) و تماسی تقسیم شده‌اند [۱]. در مقایسه با روش‌های تماسی، روش‌های اپتیکی دارای مزیت‌های بی‌نظیر، از جمله عدم تخریب نمونه (بدلیل غیر تماسی بودن)، کم‌هزینه بودن و سرعت بالا در اندازه‌گیری می‌باشند. تداخل‌سنجی یک روش مناسب و قدرتمند در بین روش‌های اپتیکی، برای اندازه‌گیری ناهمواری سطح، محسوب می‌گردد [۲، ۳]. اندازه‌گیری ناهمواری سطح با روش تداخل‌سنجی در دو مرحله اجرا می‌گردد. مرحله اول به دست آوردن یک یا چند طرح تداخلی مناسب و مرحله دوم آنالیز طرح‌های تداخلی ثبت شده (در مرحله اول) با توجه به روش‌ها و الگوریتم‌های مختلف است. در این مقاله از روش‌های تبدیل فوریه و جابه‌جایی فازی با الگوریتم سه‌تایی، چهارتایی و هاریهاران (Hariharan) [۴] استفاده شده است و دقت این روش‌ها با توجه به نوع ناهمواری سطح، مورد ارزیابی قرار گرفته است.

مبانی نظری

در این قسمت ریاضیات روش‌های تبدیل فوریه و جابه‌جایی فازی و نحوه‌ی استخراج اطلاعات فازی شرح داده می‌شود.

۱- تبدیل فوریه

رابطه‌ی ریاضی الگوی تداخلی ثبت شده حاصل از برهم‌نهی دو موج مرجع (E_r) و موج شئی (E_s) تحت

زاویه θ به صورت رابطه زیر است [۵].

$$I = |E_r + E_s|^2 = |E_r|^2 + |E_s|^2 + 2|E_r||E_s|\cos[q_x x + \varphi(x, y) + \varphi_0] \quad (1)$$

که در رابطه (۱)، $\varphi(x, y)$ مربوط به اطلاعات فازی نمونه، q_x فرکانس فضایی الگوی تداخلی ثبت شده و φ_0 اختلاف فاز مربوط به پس زمینه است که باید به صورت جداگانه محاسبه شود. با اجرای تبدیل فوریه از رابطه (۱) در فضای فرکانسی سه طیف مشاهده می‌شود. با توجه به فرکانس فضایی این سه طیف از یکدیگر جدا شده‌اند. حال اگر یکی از طیف‌های تصاویر مزدوج، با فیلترگذاری مناسب جدا شود و سپس از آن تبدیل فوریه معکوس گرفته شود رابطه زیر نتیجه می‌شود [۵].

$$i = 2|E_r||E_s|\exp\{i[q_x x + \varphi(x, y) + \varphi_0]\} \quad (2)$$

اگر مراحل بالا را بدون نمونه انجام دهیم اختلاف فاز مربوط به پس زمینه به صورت رابطه‌ی زیر به دست می‌آید [۵].

$$i_0 = 2|E_r||E_s|\exp\{i[q_x x + \varphi_0]\} \quad (3)$$

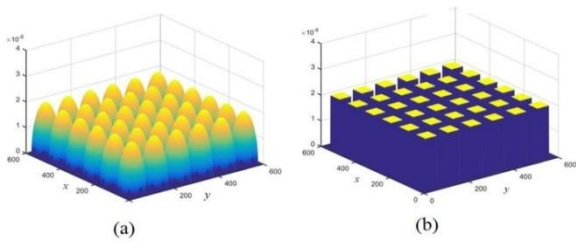
با توجه به روابط بدست آمده و با استفاده از رابطه زیر می‌توان اطلاعات فازی که همان اطلاعات ناهمواری سطح نمونه است را بدست آورد [۵].

$$\varphi(x, y) = \arg\left(\frac{i}{i_0}\right) \quad (4)$$

۲- جابه‌جایی فازی

در این روش برای بدست آوردن اطلاعات فازی حداقل نیاز به سه الگوی تداخلی با اختلاف فاز مشخص است. که معمولاً این اختلاف فاز از نظر تجربی با پیرو الکترونیک ایجاد می‌شود [۶]. با توجه به تعداد الگوهای تداخلی ثبت شده، این روش دارای الگوریتم‌های مختلفی است. به عنوان

مربع با اندازه ضلع $3\mu\text{m}$ (بصورت نوعی) است. محور Z مربوط به ارتفاع ناهمواری نمونه است.



شکل ۱: نمونه‌های شبیه‌سازی شده.

۲- محاسبه نسبت سیگنال به نویز و خطای اندازه‌گیری

به دلیل وجود همیشگی نویز در کارهای آزمایشگاهی، از تابع توزیع پواسون برای شبیه‌سازی مقدار نویز استفاده کرده‌ایم. در محاسبات این مقدار نویز را به الگوهای تداخلی ثبت شده که به صورت ماتریس‌های $n \times n$ هستند، را اضافه کرده‌ایم. با توجه به این نکته، می‌توان مقدار نسبت سیگنال به نویز سیستم را به صورت رابطه زیر تعریف کنیم.

$$SNR = \frac{\sum_{i,j} I_{ij}}{\sum_{i,j} N_{ij}} \quad (9)$$

که در رابطه (۹)، I_{ij} و N_{ij} به ترتیب ماتریس مربوط به الگوهای تداخلی و نویز هستند.

برای بدست آوردن بهترین روش اندازه‌گیری، محاسبه خطای اندازه‌گیری بهترین راه است. با توجه به رابطه زیر می‌توان خطای اندازه‌گیری هر کدام از روش‌های اندازه‌گیری را محاسبه کرد. در رابطه‌ی زیر Z_{ij} و Z'_{ij} به ترتیب ماتریس‌های سطح شبیه‌سازی شده و سطح اندازه‌گیری شده هستند.

$$ERROR = \frac{\sum_{i,j} |Z_{ij} - Z'_{ij}|}{\sum_{i,j} Z_{ij}} \quad (10)$$

مثال در الگوریتم سه‌تایی نیاز به سه طرح تداخلی است. اگر اختلاف فاز طرح‌های تداخلی بصورت $(\delta_1 = -\alpha, \delta_2 = 0, \delta_3 = \alpha)$ باشد روابط ریاضی الگوهای تداخلی به صورت زیر خواهد بود [۷]:

$$I_1(x, y) = I'(x, y) + I''(x, y) \cos[\varphi(x, y) - \alpha] \quad (5)$$

$$I_1(x, y) = I'(x, y) + I''(x, y) \cos[\varphi(x, y)] \quad (6)$$

$$I_1(x, y) = I'(x, y) + I''(x, y) \cos[\varphi(x, y) + \alpha] \quad (7)$$

در روابط بالا $I'(x, y) = I_s(x, y) + I_r(x, y)$ شدت میانگین (جمع شدت موج سنی و موج مرجع) و $I''(x, y) = 2\sqrt{I_s(x, y)I_r(x, y)}$ است. حال با استفاده از رابطه زیر می‌توان اطلاعات فازی را محاسبه کرد [۷].

$$\varphi(x, y) = \tan^{-1} \left\{ \left[\frac{1 - \cos(\alpha)}{\sin(\alpha)} \right] \frac{I_1 - I_3}{2I_2 - I_1 - I_3} \right\} \quad (8)$$

روابط ریاضی دیگر الگوریتم‌های روش جابجایی فازی مشابه همین الگوریتم هستند.

شبیه‌سازی

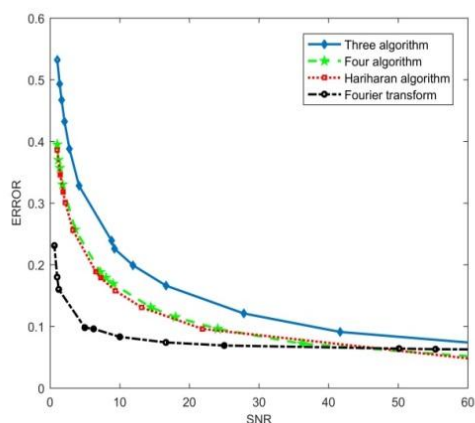
۱- نمونه

عوامل بسیاری در دقت روش‌های اپتیکی تأثیر گذار هستند. نوع ناهمواری سطح یکی از مهم‌ترین عوامل در دقت روش‌های اپتیکی است که می‌توان با انتخاب مناسب‌ترین روش، دقت اندازه‌گیری را بالا برد. با توجه به این نکته دو سطح مختلف با شکل و نوع ناهمواری متفاوت مورد بررسی قرار گرفته و شبیه‌سازی شده است. در شکل (۱-a) نوع ناهمواری با تغییرات ناهمواری کند و در شکل (۱-b) نوع ناهمواری با تغییرات تند (آنی) یا پله‌ای نشان داده شده‌اند. در شکل (۱) صفحه xy مربوط به صفحه نمایش است که اعداد روی محور x و y تعداد پیکسل‌های صفحه نمایش است. هر پیکسل به صورت یک

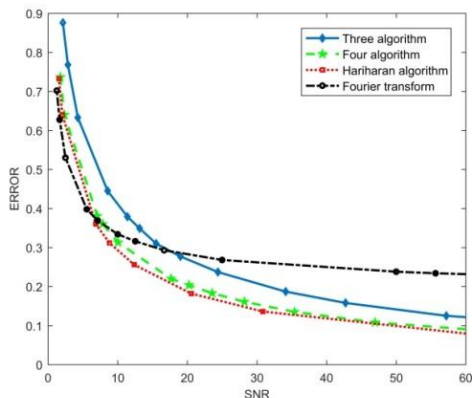
نتیجه گیری

برای سطوح مختلف شبیه سازی شده با بیشینه ارتفاع ناهمواری ۳۰ نانومتر (به عنوان یک نمونه)، مقدار خطای اندازه گیری برای الگوریتم های سه تایی، چهار تایی و هارپهاران در روش جابه جایی فازی و همچنین روش تبدیل فوریه بر حسب مقدار نسبت سیگنال به نویز ترسیم شده و در شکل های (۲) و (۳) نمایش داده شده است. ملاحظه می شود که با افزایش مقدار نسبت سیگنال به نویز، کاهش مقدار خطای اندازه گیری الگوریتم های جابه جایی فازی بیشتر از روش تبدیل فوریه است. همچنین الگوریتم هارپهاران در بین دیگر الگوریتم های روش جابه جایی فازی دارای بیشترین دقت است.

با توجه به شکل (۲) که مربوط به سطوحی با تغییرات ناهمواری کند است، می توان نتیجه گرفت که دقیق ترین روش برای این نوع ناهمواری ها روش تبدیل فوریه است. همچنین با توجه به شکل (۳) که مربوط به سطوحی با تغییرات ناهمواری تند می باشد ملاحظه می شود که روش جابه جایی فازی الگوریتم هارپهاران و چهار تایی دارای دقت بیشتری نسبت به روش تبدیل فوریه است.



شکل ۲: مقدار خطای اندازه گیری بر حسب نسبت سیگنال به نویز برای سطح شکل (۱-ا).



شکل ۳: مقدار خطای اندازه گیری بر حسب نسبت سیگنال به نویز برای سطح شکل (۱-ب).

مرجع ها

1. Lin, C.S., et al., *Measurement of Surface Profile and Surface Roughness of Fibre-Optic Interconnect by Fast Fourier Transform*. Metrology and Measurement Systems, 2017. **24**(2): p. 381-390.
2. Chen, L.-C., et al., *3-D surface profilometry using simultaneous phase-shifting interferometry*. Optics Communications, 2010. **283**(18): p. 3376-3382.
3. Guo, H. and P.S. Huang. *Absolute phase retrieval for 3d shape measurement by Fourier transform method*. in *Proceedings of the SPIE*. 2007.
4. Hecht, E., *Optics, 4th*. International edition, Addison-Wesley, San Francisco, 2002. 3.
5. Tayebi, B., et al., *Reduced-phase dual-illumination interferometer for measuring large stepped objects*. Optics letters, 2014. **39**(19): p. 5740-5743.
6. Hariharan, P., B. Oreb, and T. Eiju, *Digital phase-shifting interferometry: a simple error-compensating phase calculation algorithm*. Applied optics, 1987. **26**(13): p. 2504-2506.
7. Malacara, D., *Optical shop testing*. Vol. 59. 2007: John Wiley & Sons.